

Molecular Detection of Inducible Clindamycin Resistance among Staphylococcal Strains Isolated from Hospital Patients

Abdollahi SH¹, Ramazanzadeh R^{2*}, Delami Khiabani Z¹, Kalantar E³, Menbari SH³

¹ Department of Microbiology, Islamic Azad University, Zanjan Branch, Zanjan, Iran

² Cellular & Molecular Research Center and Department of Microbiology, School of Medicine, Kurdistan University of Medical Sciences, Sanandaj, Iran

³ Department of Microbiology, School of Medicine, Kurdistan University of Medical Sciences, Sanandaj, Iran

* Corresponding Author. Tel: +989143104424 Fax: +988716664674 E-mail: atrop_t51@yahoo.com

Received: 14 November 2011

Accepted: 16 December 2012

ABSTRACT

Background & Objectives: Macrolide, lincosamide and streptogramin B (MLS_B) antimicrobial agents are used in the treatment of staphylococcal infections. They prevent the microbial protein synthesis system through binding to 23SrRNA. The aim of this study was to apply molecular methods to detect inducible clindamycin resistance genes among staphylococcal strains isolated from clinical specimens.

Methods: Two hundred staphylococcus strains were isolated from nose and throat swabs of patients in Toohid and Besat hospitals in Sanandaj. Antimicrobial susceptibilities of isolates were determined using disc diffusion method, agar screen test and D-Test. A multiplex PCR was performed using primers specific for *erm* (A, B, C, TR) genes.

Results: Out of 200 isolates, 18.5 % were MRSA and 32% were MRCNS (methicillin resistant coagulase negative staphylococci). Of 80 erythromycin resistant isolates, 48 were coagulase negative and 32 were *S. aureus*. Among the 48 coagulase negative staphylococci (CONS) isolates, 11.63% expressed the MLSB-inducible phenotypes. Using PCR, the frequency of different genes in the collection of isolates were as follows: *ermA*; 5.41 %, *erm B*; 5.41 %, and *erm C*; 3.13%. The *ermTR* gene was negative in all isolates. Among the 32 *S. aureus* isolates, 9.38% expressed the MLSB-inducible phenotype. Using PCR, these isolates harbored *erm A* (2.22%), *ermB* (2.22%), *ermC* (2.22%) and *ermTR* (2.22%).

Conclusion: This is the first study to show the rate of inducible clindamycin clinical isolates of staphylococci harboring *erm* genes in Sananadaj. It also demonstrated the frequency of *erm* genes was higher among CONS isolates than *S. aureus*. This data suggested the transfer of resistance gene from nonpathogenic to pathogenic strains is likely to happen. Therefore, screening and control of these resistance genes is recommended at clinical laboratories.

Keywords: *S. aureus*; Clindamycin; D-Test

بررسی مولکولی مقاومت القایی به کلیندامایسین در سویه های استافیلوکوکوس جدا شده از بیماران بستری

شادیه عبداللهی^۱، رشید رمضانزاده^{۲*}، زهراء دیلمی خیابانی^۱، عنایت آرا کلانتر^۳، شاهو منبری^۳

^۱ گروه میکروبیولوژی، دانشگاه آزاد اسلامی، واحد زنجان، زنجان، ایران ^۲ مرکز تحقیقات سلولی-مولکولی و گروه میکروبیولوژی، دانشکده پزشکی، دانشگاه علوم پزشکی کردهستان، سنندج، ایران ^۳ گروه میکروبیشناسی، دانشگاه علوم پزشکی کردهستان، سنندج، ایران

E-mail: atrop_t51@yahoo.com * نویسنده مسئول. تلفن: ۰۴۴۲۴-۹۱۴۳۱-۸۷۱۶۶۴۶۷۴ فاکس: ۰۴۴۲۴-۹۱۴۳۱-۸۷۱۶۶۴۶۷۴

چکیده

زمینه و هدف: ماکرولیدها، لینکوزامیدها و استرپتوگرامین B (MLS_B) در درمان عفونت های استافیلوکوکی استفاده می شوند. این داروها سنتز پروتئین را با اتصال به 23SrRNA مهار می کنند. هدف از این مطالعه بررسی مولکولی مقاومت القایی به کلیندامایسین در سویه های استافیلوکوکوس جدا شده از نمونه های بالینی است.

روش کار: در کل ۳۰۰ نمونه استافیلوکوکوس از بینی و حلق بیماران بستری در بخش های مراقبت ویژه و عفونی بیمارستان های توحید و بعثت سنندج جمع آوری شد. حساسیت آنتی میکروبی با روش دیسک دیفیوژن، مقاومت به متیسیلین با روش Screen Agar و بررسی فنوتیپی مقاومت القایی با روش D-Test ارزیابی شد. همچنین جهت اثبات ژنهای multiplex PCR یک *erm* (A, B, C, TR) با استفاده از پرایمرهای اختصاصی انجام شد.

یافته ها: در بررسی ۲۰۰ نمونه، ۵٪ MRCNS و ۱۸/۵٪ MRSA به دست آمد. در کل از ۸۰ نمونه بالینی (۴۸٪ استافیلوکوکوس کواگولاز منفی و ۳۲٪ استافیلوکوکوس اورئوس) استافیلوکوکوس مقاوم به اریتروماسین جدا شد. از ۴۸٪ ایزووله استافیلوکوک کواگولاز منفی (*CONS*) مقاوم به اریتروماسین، ۵/۴۱ *ermA*٪ ۱۱/۶۳ iMLS_B٪ ۵/۴۱ *ermB*٪ ۳/۱۳ *ermC*٪ ۰/۳ و ۰٪ *ermTR* به دست آمد. از ۳۲٪ ایزووله استافیلوکوکوس اورئوس مقاوم به اریتروماسین، ۰٪ *ermA*٪ ۰/۹/۳۸ *ermC*٪ ۰/۹/۳۸ *ermB*٪ ۰/۲/۲۲ *ermTR*٪ ۰/۲/۲۲ به دست آمد.

نتیجه گیری: این مطالعه برای اولین بار وجود ژن *erm* و مقاومت القایی به کلیندامایسین را در نمونه های بالینی جدا شده از بیماران در سنندج نشان می دهد و همچنین فراوانی ژن های *erm* در سویه های *CONS* نسبت به *S. aureus* بالا بود که نشان دهنده انتقال ژن توسط سویه های غیر بیماری زا به سویه های بیماری زا می باشد. لذا توصیه می شود برنامه های کنترلی و پیشگیری مداوم جهت ایجاد سویه مقاوم انجام شود.

کلمات کلیدی: استافیلوکوکوس اورئوس، کلیندامایسین، D-Test

دریافت: ۹۰/۸/۲۵ پذیرش: ۹۱/۹/۲۶

مقدمه

یکسانی را در مقابل باکتری ایفا می کنند به طوری که سنتز پروتئین باکتری را از طریق اتصال به 23SrRNA مهار می کنند. درین این گروه از داروها، کلیندامایسین داروی منتخب در درمان عفونت های پوستی و بافت نرم ایجاد شده توسط استافیلوکوک های حساس و مقاوم به متیسیلین

گروهی از آنتی بیوتیک ها شامل ماکرولید، لینکوزامید و استرپتوگرامین B هستند که به آنها آنتی بیوتیک های گروه MLS_B^۱ می گویند. این گروه از داروها ساختارهای متفاوتی با هم دارند اما عملکرد

^۱ Macrolides, Lincosamides and StreptograminB

مقاومت القایی MLS_B متیلازهای mRNA فقط در حضور یک ماکرولید القا کننده تولید می‌شوند در این نوع مقاومت اریتروماسین به عنوان یک عامل القاکننده تولید متیلاز عمل کرده و به این ترتیب می‌تواند سبب القا مقاومت در کلیندامایسین شود. در شرایط *In vitro* سویه‌های دارای مقاومت القایی نسبت به اریتروماسین مقاومت و نسبت به کلیندامایسین حساسیت را نشان می‌دهند، اما همانطور که قبل ذکر شد درمان با کلیندامایسین در این شرایط با شکست مواجه می‌شود [۶-۵].

مکانیسم دوم توسط ژن *msrA* اتفاق می‌افتد که سبب ایجاد مقاومت در ماکرولید و استرپتوگرامین MS B می‌شود در نتیجه به آن فنوتیپ M یا MS B می‌گویند و مثل فنوتیپ MLS_B در شرایط *In vitro* متیلاز و به کلیندامایسین به اریتروماسین مقاومت و به کلیندامایسین حساسیت را نشان می‌دهد با این تفاوت که در این فنوتیپ درمان با کلیندامایسین با شکست مواجه نمی‌شود. بنابراین لازم است که این دو فنوتیپ از هم متمایز شوند. برای این کار از روش D-Test استفاده می‌شود که روشی ساده، مطمئن، کم هزینه با حساسیت و دقت بالا می‌باشد. البته روش دقیق تر اثبات ژن‌های عامل مقاومت با تکنیک PCR است. هدف از این مطالعه بررسی میزان شیوع مقاومت القایی به کلیندامایسین در سویه‌های استافیلوکوکوس جدا شده از بیماران بستری در بیمارستان و اثبات ژن‌های مولد مقاومت القایی با روش multiplex PCR است [۷-۸].

روش کار

جمع آوری نمونه

از بیماران بستری شده در بخش‌های مراقبت ویژه و بخش عفونی بیمارستان‌های توحید و بعثت سنتندج نمونه گیری با سوآپ استریل از حلق و بینی، انجام شد. با این روش تعداد ۲۰۰ نمونه استافیلوکوکوس جمع آوری شدند.

می باشد. اما استفاده مکرر از این دارو سبب افزایش مقاومت به ویژه مقاومت القایی و به دنبال آن شکست درمان با کلیندامایسین می‌شود [۱-۳]. افزایش مکرر عفونت‌های استافیلوکوکوس مقاوم به متی سیلین MRSA و الگوهای تغییر یافته در مقاومت‌های ضد میکروبی منجر به استفاده از آنتی بیوتیک‌های ماکرولید- لینکوزامید- استرپتوگرامین (MLS_B) در درمان این عفونت‌ها شده است. اما استفاده گسترده از این آنتی بیوتیک‌ها منجر به افزایش تعداد سویه‌های استافیلوکوکوس مقاوم به آنتی بیوتیک‌های MLSB شده است [۱-۳].

به طور کلی سه مکانیسم مقاومتی تغییر سایت هدف ریبوزومی، افلوکس پمپ و غیر فعال سازی آنزیمی آنتی بیوتیک ممکن است سبب مقاومت باکتریایی به این گروه از داروها شوند [۲-۳]. شایع‌ترین مکانیسم مقاومتی تغییر سایت هدف ریبوزومی است که توسط ژن‌های (erythromycin ribosome erm) اتفاق می‌افتد که با تولید آنزیم‌های methylase می‌شود. این آنزیم‌ها با تولید می‌کنند و از این طریق مقاومت های استرپتوگرامین B ایجاد می‌کنند. بنابراین به آن فنوتیپ MLSB می‌گویند. چهار وریته از ژن‌های erm شامل ermF ermC ermB ermA شناخته شده اند که می‌توانند مقاومت‌های دایمی (cMLS_B)^۱ و القایی (cMLS_B)^۲ را نسبت به داروهای MLSB ایجاد کنند [۴].

مقاآمت‌های دایمی cMLS_B نوعی از مقاومت است که در آن متیلازهای mRNA بدون نیاز به القا کننده تولید می‌شوند و سویه‌هایی که مقاومت دایمی پیدا می‌کنند به تمامی ماکرولیدها، لینکوزامیدها و استرپتوگرامین B مقاومت پیدا می‌کنند، اما در

¹ Constitutive Resistance

² Inducible Resistance

از ۱۸ ساعت انکوباسیون در دمای 35°C بررسی شدند (شکل ۱) [۳].



شکل ۱. روش انتشار دو دیسک: D-Test تست مثبت را نشان می‌دهد که لبه ای از یک ناحیه مهاری اطراف دیسک دیسک کلیندامایسین به شکل حرف D ظاهر شده است. CL : کلیندامایسین، E : اریترومایسین

استخراج DNA استافیلوکوکوس
جهت استخراج DNA ژنومی سویه‌های استافیلوکوک ایزووله شده، از کیت Cinna Pure DNA ساخت شرکت سیناژن استفاده شد.

واکنش Multiplex PCR برای ژن های erm
در ابتدا پرایمرهای اختصاصی برای ژن های erm تهیه شدند که در جدول ۱ آورده شده است.
استفاده از کیت Multiplex PCR در حجم نهایی ۲۰ میکرولیتری با DFS Master Mix Kit, PCR استفاده از کیت سیناژن انجام شد این کیت شامل آنزیم Taq پلی مراز، MgCl_2 , $(\text{NH}_4)_2\text{SO}_4$, dNTP, Tween-20, TrisHCl استفاده برای این واکنش به صورت زیر بود:
از پرایمرهای MgCl_2 ۳ mM, Master Mix ۱۲.۵ μl , 12.5 pmol DNA template و $1 \mu\text{l}$ شرایط دمایی PCR. Distilled water μl برای ژن های erm به صورت زیر است:

جداسازی و کشت

نمونه ها بلافصله در محیط چاپمن کشت داده شدند. استافیلوکوکوس اورئوس و استافیلوکوکوس های کواگلаз منفی با تست های بیوشیمیابی معمول شامل شکل کلی، رنگ آمیزی گرم، تست کاتالاز، کواگلاز DNase اسلایدی و لوله ای، تست تخمیر مانیتول و شناسایی شدند [۹].

آنتی بیوگرام

حساسیت آنتی بیوتیکی با روش Kirby-Bauer طبق استاندارد CLSI (Clinical and Laboratory Standards Institute) انجام شد. دیسک های استفاده شده اریترومایسین ($15 \mu\text{g}$), جنتامایسین ($30 \mu\text{g}$), سیپروفلوکسازین ($5 \mu\text{g}$) بودند [۱۰].

بررسی مقاومت به متی سیلین

برای تشخیص سویه های استافیلوکوکوس مقاوم به متی سیلین از محیط اختصاصی استفاده گردید. برای این منظور به محیط مولر هینتون آگار 4% و 6 mg/L oxacillin استافیلوکوکوس شناسایی شده بر روی آن کشت داده شده و در دمای 35°C به مدت ۱۸ الی ۲۴ ساعت انکوبه گردید. پس از آن رشد بیشتر از یک کلی نشان دهنده مقاومت به متی سیلین تلقی شد [۱۰].

بررسی فنوتیپی الگا بیان ژن های erm

بررسی فنوتیپیک فعال شدن ژن های erm با استفاده از روش D - Test طبق راهنمایی های CLSI انجام شد. یک سوسپانسیون معادل کدورت استاندارد ۰/۵ مک فارلند از ارگانیسم ها تهیه شده و به پلیت های حاوی مولر هینتون آگار تلقیح شد. دیسک اریترومایسین ($15 \mu\text{l}$) در فاصله $15-۲۶ \text{ mm}$ (ER 15) روی CL ۲ (لبه به لبه) دیسک کلیندامایسین ($1 \mu\text{l}$) بعد محیط مولر هینتون آگار قرار داده شد. پلیت ها

یافته ها

از کل ۲۰۰ نمونه استافیلوکوکی ۹۰ مورد *S. aureus* بودند (۱۸/۵٪،^۱ MRSA ۲۶/۵٪،^۲ MSSA ۱۱۰٪) و ۱۱۰ مورد *MSCNS* ۲۳٪ و *MRCNS* ۳٪ (CNCS ۳٪).^۴ ایزوله بالینی (۴۰٪) به اریترومایسین مقاومت نشان دادند که جبیت بررسی القاء مقاومت در کلیندامایسین تحت D-Test قرار گرفتند. ۸ ایزوله (۱۰٪) مقاومت القایی iMLS_B نشان دادند (۷۵٪/۳٪)،^۵ ۵٪ (۸٪/۴٪) MRCNS و ۱/۲۵٪ (۸٪/۱٪) *MRSA* (MSCNS ۸٪).

۸۷/۵٪ از فنوتیپ های iMLS_B در ایزوله های مقاوم به متی سیلین به دست آمدند. ۳ ایزوله مقاوم به اریترومایسین و حساس به کلیندامایسین (فنوتیپ MS) و ۶۴ ایزوله مقاوم به اریترومایسین و کلیندامایسین (فنوتیپ cMLS_B) به دست آمد (جدول ۲). حساسیت فنوتیپ های iMLS_B به سبروفلوكسازین ۵۰٪ و به جنتامایسین ۶۲/۵٪ بودند.

در بررسی های ژنتیکی انجام شده بر روی ایزوله های مقاوم به اریترومایسین، جبیت جستجوی ژن های *erm* در بین ۴۸ ایزوله CNS، *ermA* در *ermB*،^۳ ۵/۴۱ در *ermC*،^۳ ۵/۴۱ در *ermTR* و ۳/۱۳ در *ermB* در *ermC*،^۳ ۲/۲۲ در *ermTR* دست آمد (جدول ۳).

در بین ۳۲ ایزوله استافیلوکوکوس/ورئوس مقاوم به اریترومایسین در *ermA* ۲/۲۲ در *ermB*،^۳ ۲/۲۲ در *ermTR* و ۲/۲۲ در *ermC*،^۳ ۲/۲۲ در *ermTR* دست آمد (جدول ۳).

۹۴°C Primary denaturation Annealing ۹۴°C Denaturation ۳۰ ثانیه، ۵۲°C Extension ۳۰ ثانیه، ۷۲°C Final Extension ۵ ثانیه، ۷۲°C Final Extension ۵ ثانیه.

الکتروفورز محصول PCR

مجموع ترین روش جبیت مشخص کردن و دیدن محصول PCR، الکتروفورز روی ژل آکارز یا ژل پلی اکریل آمید و رنگ آمیزی آن با اتیدیوم بروماید است [۱۱]. در این تحقیق از ژل آکارز با درصد ۱/۵ استفاده شد، برای تهیه ژل ۱/۵ درصد ۰.۰۵٪ TAE آکارز (نداشتن راه) در ۴۰ cc بافر (۰.۰۵٪ TAE) حل گردید. پس از بسته شدن ژل و شانه گذاری و لود کردن ۴ میکرولیتر از محصول PCR مخلوط شده با ۲ میکرولیتر Loading Buffer، الکتروفورز محصول PCR روی ژل ۱/۵ در ولتاژ ۵۰ به مدت یک ساعت انجام شد. پس از رنگ آمیزی ژل با اتیدیوم بروماید ۱۰ mg/ml (BIORON)، آشکار سازی ژل الکتروفورز شده توسط دستگاه ترانس لومیناتور انجام شد (شکل ۲).

سایز محصولات PCR و قطعات حاصل با مقایسه آنها با سایزهای استاندارد DNA Ladder ۱۰۰ bp با سایزهای استاندارد (BIORON) تخمین زده شد و به صورت دقیق تر با نرم افزار Gelxone مورد مطالعه قرار گرفت [۱۵].

تجزیه و تحلیل مشاهدات

تجزیه و تحلیل داده ها و مقایسات آماری با استفاده از نرم افزار Excel و همچنین SPSS (آمار توصیفی، آزمون χ^2) انجام شد [۳].

¹ Methicillin-Resistant *S. aureus*

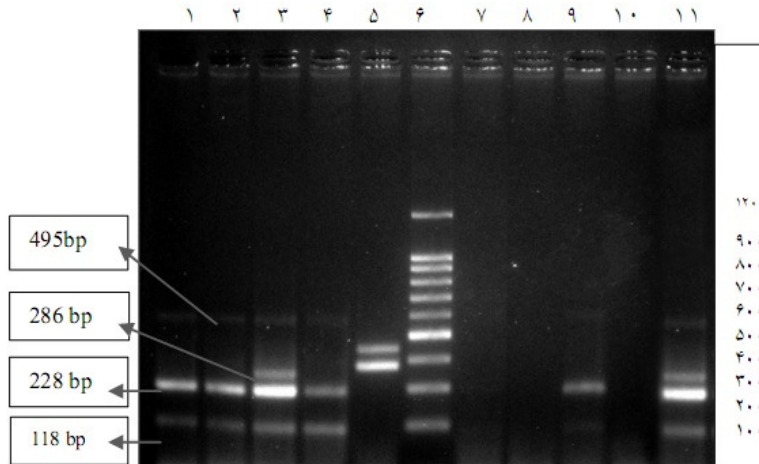
² Methicillin-Sensitive *S. aureus*

³ Methicillin-Resistant Coagulase-Negative

Staphylococci

⁴ Methicillin-Sensitive Coagulase-Negative

Staphylococci



شکل ۲. الکتروفورز محصولات multiplex PCR برای ژن های erm

(شماره ۶ مارکر بوده که از ۱۰۰ جفت باز تا ۱۲۰۰ جفت باز می باشد. ۷ و ۸ ایزوله هایی هستند که در بررسی ژنتیکی هیچ کدام از باند های مربوط به ژن های فوق را ندارند. شماره ۱۰ کنترل منفی، شماره ۱۱ کنترل مثبت و شماره های ۱ و ۲ و ۳ و ۴ و ۵ و ۹ ایزوله هایی هستند که ژن های فوق را دارند.)

جدول ۱. پرایمرها و طول قطعات حاصل از آن در ردیابی ژن های erm [۱۷]

| Gene | Primer: sequence | Size |
|-------|---|--------|
| ermA | ermA/TRSb: TCA GGA AAA GGA CAT TTT ACC ermAAb: ATA TAG TGG TGG TAC TTT TTT GAG C | 118 bp |
| ermB | ermBAb: CGA TAT TCT CGA TTG ACC C ermBSb: GGT AAA GGG CAT TTA ACG AC | 228 bp |
| ermC | ermCab: TAGCAAACCCGTATTCCACG ermCsb: CTTGTTGATCACGATAATTCC | 495 bp |
| ermTR | ermTRAb: AAA ATA TGC TCG TGG CAC ermA/TRSb: TCA GGA AAA GGA CAT TTT ACC | 286 bp |

جدول ۲. فنوتیپ های مقاومت به CNS و S. aureus در MLS_B

| | مقاوم به اریتروماسین | | حساس به اریتروماسین (n = 120) | کل | | |
|-------|----------------------|-------------------|----------------------------------|--------------|------|--|
| | | | | | | |
| | cMLS _B | iMLS _B | | | | |
| MRSA | ۲۲ | D | D ⁺ | ۱۲ | ۳۷ | |
| MSSA | ۷ | . | . | ۴۶ | ۵۳ | |
| MRCNS | ۳۱ | ۱ | ۳ | ۲۴ | ۶۱ | |
| MSCNS | ۴ | ۱ | . | ۳۸ | ۴۴ | |
| کل | 64(٪۳۲/۸۲) | ۵(٪۲/۵۶) | ۳(٪۱/۵۴) | ۱۲۰(٪۶۱/۱۹۵) | ۱۹۵* | |

(۱۹۵ + ۵ = ۲۰۰ مورد) به ترتیب ۲ و ۳ phenotype HD و phenotype S *

جدول ۳. توزیع فراوانی ژن های erm (A, B, C, TR) در بین ۸۰ ایزوله استافیلوکوکی

| Genes | No. (%) MRCNS (n=40) | No. (%) MSCNS (n=8) | No. (%) total CNS (n=48) | No. (%) MRSA (n=25) | No. (%) MSSA (n=7) | No. (%) total <i>S. aureus</i> (n=32) | No. (%) total staphylococci (n=80) |
|---------|----------------------------|---------------------------|--------------------------------|---------------------------|--------------------------|---|--|
| erm(A) | ۳٪ (۴/۶۹) | . | ۳٪ (۲/۷۳) | ۲٪ (۵/۴۱) | . | ۲٪ (۷/۲۲) | ۵٪ (۲/۵) |
| erm(B) | ۳٪ (۴/۶۹) | . | ۳٪ (۲/۷۳) | ۲٪ (۵/۴۱) | . | ۲٪ (۷/۲۲) | ۵٪ (۲/۵) |
| erm(C) | ۲٪ (۳/۱۳) | . | ۲٪ (۱/۸۲) | ۲٪ (۳/۱۳) | . | ۲٪ (۷/۲۲) | ۴٪ (۲) |
| erm(TR) | . | . | . | ۲٪ (۵/۴۱) | . | ۲٪ (۷/۲۲) | ۲٪ (۱) |
| PCR (-) | ۱٪ (۱/۵۶) | ۱٪ (۲/۱۷) | ۲٪ (۱/۸۲) | . | . | . | ۲٪ (۱) |

فصیح^۵ و همکاران، فراوانی فنوتیپیک ظاهر شده حاصل از بیان ژن های القایی erm را در ایزوله های بالینی *S. aureus* به روش D-test ارزیابی کرده اند. آنالیز ۲۴۳۲ ایزوله در روش دیسک دیفیوژن نشان داده که ۶۴٪ (n=۱۵۵۳) به هر دو آنتی بیوتیک اریترومایسین و کلیندامایسین حساس بودند، در حالی که ۳۰٪ (n=۷۴۱) مقاومت دائمی به هر دو دارو داشتند. ۶٪ (n=۱۳۸) ایزوله ها در روش دیسک دیفیوژن نتایج نا جوری را نشان دادند (حساسیت به کلیندامایسین و مقاومت به اریترومایسین). از بین ایزوله های ناجور ۷۲٪ (n=۹۹) فنوتیپ مقاومت القایی را با روش D-Test نشان دادند که از بین آنها ۸۵٪ ایزوله (۶۲٪) MRSA بودند [۳] در مطالعه حاضر، از ۲۰۰ نمونه مورد بررسی (n=۱۲۰) به هر دو آنتی بیوتیک اریترومایسین و کلیندامایسین حساس بودند، در حالی که ۳۲٪ (n=۶۴) مقاومت دائمی به هر دو دارو داشتند. ۵٪ (n=۱۱) ایزوله در روش دیسک دیفیوژن نتایج نا جوری را نشان دادند (حساسیت به کلیندامایسین و مقاومت به اریترومایسین). از بین ایزوله های ناجور ۷۳٪ (n=۷۳) فنوتیپ مقاومت القایی را با روش D-Test نشان دادند که از بین آنها ۳٪ ایزوله (۵٪) MRSA بودند یا به عبارت دیگر ۷۵٪ از فنوتیپ های iMLSB مقاوم به متی سیلین بودند.

بحث

افزایش فراوانی عفونت های استافیلوکوکی به همراه مشکل افزایش مقاومت آنتی بیوتیکی منجر به استفاده از کلیندامایسین شده است که برای درمان عفونت های خفیف تا متوسط استافیلوکوکی مناسب و یک جایگزین خوب برای پنی سیلین در بیماران حساس به پنی سیلین است. با وجود این دستور العمل ها بیشترین خطر درمان با کلیندامایسین شکست درمان در فنوتیپ مقاومت القایی کلیندامایسین است [۳].

در این مطالعه ۲۰۰ ایزوله استافیلوکوکی به دست آمدند که ۴۰٪ مقاوم به اریترومایسین بودند. از بین استافیلوکوکوس اورئوس های مقاوم به اریترومایسین مقاومت iMLSB در ۱۰٪ (۸/۸۰) مورد به دست آمد که مشابه آن توسط گادپالی^۱ و همکاران، فیبلکورن^۲ و همکاران، جورجنسن^۳ گزارش شده است [۱۲-۱۴]. بسیاری از محققان شیوع بالاتری را گزارش کرده اند [۱۵, ۱۷]، در حالی که دیگران شیوع کمتری را نشان داده اند [۱۸, ۱۹]. در مطالعه ما برخلاف مطالعه پال^۴ و همکاران درصد های متفاوتی از مقاومت القایی در بین *S. aureus* (۵/۳٪) و CNS (۵/۳٪) به دست آمد [۹] اما نتیجه مطالعه حاضر با بسیاری از مطالعات انجام شده همخوانی داشت [۲, ۷].

¹ Gadepalli

² Fiebelkorn

³ Jorgensenet

⁴ Pal

⁵ Fasih

استافیلوکوکوس اورئوس) از استافیلوکوکوس مقاوم به اریترومایسین را جمع آوری کردند. حساسیت آنتی میکروبی را با روش دیلوشن آگار و فنوتیپ‌های مقاوم را با روش القا دیسک های دوتایی ارزیابی کردند. یک multiplex PCR *ermB*, *ermA* پرایمرهای اختصاصی برای ژن های *ermC* و ژن *msrA* انجام دادند. از بین ۲۸ ایزووله *ermC* و ژن *msrA* انجام دادند. از بین ۲۸ ایزووله *ermC* و ژن *msrA* ۵۷٪ مقاومت دائمی به MLS_B ۲۰٪ CNS ۵٪ مقاومت القایی به MLS_B و ۲۱٪ فنوتیپ MS_B را نشان دادند. در PCR انجام شده توسط آنها ۷۸٪ از این ایزووله ها ژن *ermC* ۹٪، ژن *ermA* ۶٪، ژن *msrA* ۱۱٪ و ژن *ermB* ۴٪ در آنها نشان دادند. در حالی که ۳۷٪ شامل هر دو ژن *ermA* و *ermC* بودند [۷]. در مطالعه حاضر، در بین ۴۸ ایزووله CONS مقاوم به اریترومایسین، مقاومت دائمی به MLS_B در ۴٪ (۱۲٪/۲۸)، مقاومت القایی به MLS_B در ۶٪ (۳٪/۲۸) و فنوتیپ MS_B در ۵٪ (۲٪/۲۸) به دست آمد. *ermA* در ۴۱٪ (۲۰٪/۴۸) این ایزووله ها، *ermB* در ۴۱٪ (۲٪/۲۸) این ایزووله ها، *ermC* در ۱۳٪ (۳٪/۲۸) و *ermTR* در ۰٪ (۰٪/۲۸) این ایزووله ها به دست آمد. وجود هم زمان ژن های *ermC* و *ermB* در دو ایزووله، *ermC* و *ermA* در دو ایزووله، *ermTR* و *ermC* و *ermB* و *ermA* در هیچ کدام از ایزووله های CONS به دست نیامد.

نتیجہ گیری

گردنش سویه های مقاوم به آنتی بیوتیک در بین افراد جامعه و به خصوص جمعیت در معرض خطر مانند کودکان، افراد دارای نقص ایمنی و مسن ترها مسئله مهمی است که باید تدبیر کنترلی مناسبی در این راستا و برای پیشگیری از گسترش آن اندیشهیده شود. با توجه به اینکه شیوع مقاومت القایی در مناطق مختلف متفاوت است و اهمیت تشخیص مقاومت القایی در موفقیت درمان عفونت های استافیلوکوکی

در مطالعه ای که سیمکل^۱ و همکاران انجام دادند میزان فنوتیپ های MLS_B را با روش D-test و multiplex real time PCR در سویه های MRSA تعیین کردند. در مجموع ۲۶۵ سویه MRSA از نمونه های بالینی از بیماران بستری شده در بیمارستان و بیماران خارج از بیمارستان جمع آوری کردند. از بین این ایزوژلهای ۲۲۵ مورد (۸۴/۹٪) به اریتروماسیین مقاوم بودند و ۱۷۰ مورد (۶۴/۱٪) به کلینداماسیین مقاوم بودند. از بین ۳۲۵ نمونه MRSA مقاوم به اریتروماسیین، ۴۹/۳٪ مقاومت دائمی (cMLS_B) و ۳۹/۱٪ مقاومت القایی (iMLS_B) نشان دادند و فنوتیپ M در ۱۱/۵٪ موارد گزارش شد. به طور کلی ژن های ermA و ermC به ترتیب در ۸۵ نمونه (۳۷/۷٪) و ۶۰ نمونه ermC (۲۶/۶٪) شناسایی شدند [۲۰]. در بررسی های ژنوتیپ انجام شده جهت اثبات ژن های کد کننده مقاومت القایی که ما انجام دادیم (۲/۵٪) ۵ ژن erm(A) به دست آمد که همگی مربوط به استافیلکوکوس های مقاوم به متی سیلین بوده استافیلکوکوس های مقاوم به متی سیلین (۴/۶۹٪) MRCNS ۳ و (۵/۴۱٪) MRCNS ۲. ۵ ژن erm(B) به دست آمد که همگی مربوط به استافیلکوکوس های مقاوم به متی سیلین بوده استافیلکوکوس های مقاوم به متی سیلین (۴/۶۹٪) MRCNS ۳ و (۵/۴۱٪) MRCNS ۲. ۵ ژن erm(C) به دست آمد که همگی مربوط به استافیلکوکوس های مقاوم به متی سیلین بوده استافیلکوکوس های مقاوم به متی سیلین (۳/۱۳٪) MRCNS ۲ و (۳/۱۳٪) MRSA ۲. ژن erm(TR) به دست آمد که همگی مربوط به استافیلکوکوس های مقاوم به متی سیلین بوده استافیلکوکوس های مقاوم به متی سیلین (۵/۴۱٪) MRSA ۲ بودند.

¹ Cemgul

² Zerrin Aktas

تشکر و قدردانی

بدین وسیله از استاید گروه میکروب شناسی همچنین معاونت تحقیقات و فن آوری دانشگاه علوم پزشکی کردستان جهت تامین مالی و همچنین از همکاری تکنسین های دانشکده و آزمایشگاه بیمارستان توحید و بعثت نهایت تشکر و قدردانی به عمل می آید.

و پیشگیری از شکست درمان با کلیندامایسین در سویه های MRSA و سادگی، کم هزینه بودن و حساسیت بالای روش D-Test ، لازم است که این تست ساده به صورت روتین در گزارش آنتی بیوگرام آزمایشگاه گنجاده شود.

References

- Shantala GB, Adithi SS, Rahul RK, Nagarathnamma T. Detection of inducible Clindamycin resistance in clinical isolates of *Staphylococcus aureus* by the Disc Diffusion Induction Test. J Clinical and Diagnostic Research. 2011 Feb; 5(1): 35-37.
- Mohanasoundaram KM. The Prevalence Of Inducible Clindamycin Resistance Among Gram Positive Coccii From Various Clinical Specimens. J Clinical and Diagnostic Research. 2011 Feb; 5(1): 38 - 40.
- Fasih N, Irfan S, Zafar A, Khan E, Hasan R. Inducible clindamycin resistance due to expression of erm genes in *Staphylococcus aureus*: Report from a Tertiary Care Hospital Karachi, Pakistan. J Pak Med Assoc. 2010 Sep; 60(9): 750-753.
- Shrestha B, Pokhrel BM, Mohapatra TM. Phenotypic characterization of nosocomial isolates of *Staphylococcus aureus* with reference to MRSA. J Infect Dev Ctries. 2009; 3(7): 554 - 560.
- Adaleti R, Nakipoglu Y, Ceran N, Tasdemir C, Kaya F, Tasdemir S. Prevalence of phenotypic resistance of *Staphylococcus aureus* isolates to macrolide, lincosamide, streptogramin B, ketolid and linezolid antibiotics in Turkey. Braz J Infect Dis. 2010; 14(1): 11-14.
- Eksi F, Gayyurhan ED, Bayram A, Karsligil T. Determination of antimicrobial susceptibility patterns and inducible clindamycin resistance in *Staphylococcus aureus* strains recovered from southeastern Turkey. J Microbiology, Immunology and Infection. 2011; 44: 57- 62.
- Aktas Z, Aridogan A, Kayacan CB, Aydin D. Resistance to Macrolide, Lincosamide and Streptogramin antibiotics in Staphylococci isolated in Istanbul, Turkey. The Journal of Microbiology. 2007 Aug; 45(4): 286-290.
- Christine D, Raney PM, Morrel AK, Williams PP, Linda K, Jevitt L, et al. Testing for Induction of Clindamycin Resistance in Erythromycin-Resistant Isolates of *Staphylococcus aureus*. J clinical microbiology. 2005 Apr; 43(4): 1716–1721.
- Pal N, Sharma B, Sharma R, Vyas L. Detection of inducible clindamycin resistance among Staphylococcal isolates from different clinical specimens in western India. Department of Microbiology, Jaipur, India. 2010 Aug; 56(3): 182-185.
- Franklin R, Matthew A, Karen B, Michael N, George M, Dwight J, et al. Performance Standards for Antimicrobial Susceptibility Testing;Twentieth Informational Supplement, 30(1), 2010: 60-75
- John Burpo F. A critical review of PCR primer design algorithms and crosshybridization case study. Biochemistry. 2001 Aug; 218: 1-12.
- Gadepalli R. Inducible clindamycin resistance in clinical isolates of *Staphylococcus aureus*. Indian J Med Res. 2006 April; 123(4): 571 - 573.
- Fiebelkorn KR, Crawford SA, McElmeel ML, Jorgensen JH. Practical Disk Diffusion Method for Detection of Inducible Clindamycin Resistance in *Staphylococcus aureus* and Coagulase-Negative Staphylococci. J Clinical Microbiology. 2003 Oct ; 41(10): 4740 – 4744.
- Jorgensen JH, Crawford SA, McElmeel ML, Fiebelkorn KR. Detection of Inducible Clindamycin Resistance of Staphylococci in Conjunction with Performance of Automated Broth Susceptibility Testing. J Clinical Microbiology. 2004 April; 42(4): 1800–1802.
- Ciraj AM, Vinod P, Sreejith G, Rajani K. Inducible clindamycin resistance among clinical isolates of *staphylococci*. Indian J Pathology and Microbiology. 2009 March; 52(1): 49 - 51.

- 16- Goyal R, Singh NP, Manchanda V, Mathur M. Detection of clindamycin susceptibility in macrolide resistant phenotypes of *Staphylococcus aureus*. Indian J Med Microbiol, 2004 Oct-Dec, 22(4): 251-254.
- 17- Matthew VN, Cai Y, Kong F, Zeng X, Gilbert GL. Influence of Disk Separation Distance on Accuracy of the Disk Approximation Test for Detection of Inducible Clindamycin Resistance in *Staphylococcus* spp. J clinical microbiology. 2006 Nov; 44(11): 4072-4076.
- 18- Rahbar M, Hajia M. Inducible clindamycin resistance in *Staphylococcus aureus*: a cross-sectional report. Pak J Biol Sci. 2007 Jan; 10(1): 189-192.
- 19- Delialioglu N, Aslan G, Ozturk C, Baki V, Sen S, Emekdas G. Inducible Clindamycin Resistance in *Staphylococci* Isolated from Clinical Samples. Jpn. J Infect Dis. 2005 Apr; 58(2): 104-106.
- 20- Cemgul H, Kilic A, Guclu AU, Bedir O, Orhon M, Basustaoglu C. Macrolide-lincosamide-sterptogramin B resistant phenotypes and genotypes for methicillin resistant *staphylococcus aureus* in turkey, from 2003 to 2006. J microbiology. 2008 Sep; 57(4): 307-312.